

ФЕДЕРАЛЬНОЕ ГОСУДАРСТВЕННОЕ АВТОНОМНОЕ
ОБРАЗОВАТЕЛЬНОЕ УЧРЕЖДЕНИЕ ВЫСШЕГО ОБРАЗОВАНИЯ
«НАЦИОНАЛЬНЫЙ ИССЛЕДОВАТЕЛЬСКИЙ УНИВЕРСИТЕТ
«ВЫСШАЯ ШКОЛА ЭКОНОМИКИ»
ФАКУЛЬТЕТ МАТЕМАТИКИ

Никитин Давид Сергеевич

Исследование сложного поведения обобщенного отображения Эно

Курсовая работа студента 2 курса
образовательной программы бакалавриата «Математика»

Научный руководитель:
Доцент
Станкевич Наталия Владимировна

Нижний Новгород 2022

Оглавление

1	Введение	3
2	Вспомогательные определения	4
2.1	Мультипликатор	4
2.2	Условия бифуркаций	5
3	Аналитическое исследование	7
3.1	Неподвижная точка	7
3.2	Мультипликатор	7
3.3	Бифуркации	8
3.3.1	Треугольник устойчивости	8
4	Анализ отображения	10
5	Заключение	15

Глава 1

Введение

Логистическое отображение - это уравнение вида:

$$x_{n+1} = f(x_n).$$

То есть это отображение зависящее от предыдущего значения параметра. Например с его помощью изучают численность популяции. Также важно сказать об установившихся режим этих отображений, то есть точках в которых отображение либо перестает изменяться (неподвижная точка), либо переходит в цикл (когда динамика повторяется), либо переходит в хаос.

Если изменить какой-либо параметр внутри логистического отображения, то система может существенно измениться. Этим изменениям и соответствует бифуркация. Также появляется и определение аттрактора, как раз из-за изменений начальных данных и/или коэффициентов появляются новые отображения которые не пересекаются и являются уникальными.

В этой работе мы будем изучать отображение Эно, которое показывает нам как кардинально изменяется результат от изменения начальных условий.

Обобщенное отображение Эно:

$$\begin{cases} x_{n+1} = y_n \\ y_{n+1} = z_n \\ z_{n+1} = Bx_n + Az_n + Cy_n - y_n^2 \end{cases}$$

Мы будем рассматривать двумерную проекцию трехмерного отображения Эно, то есть смотреть на проекцию отображения на плоскость XOY.

Глава 2

Вспомогательные определения

Для начала мы введем некоторые определения и пояснения, чтобы сделать анализ нашего отображения.

Представим ситуацию, когда последующая точка не изменяется относительно предыдущей, то есть $x_{n+1} = x_n$. Тогда эта точка x_0 называется неподвижной точкой. В нашем случае, чтобы найти точку уравнение нужно привести к виду: $x_0 = f(x_0)$. Эти точки могут быть устойчивыми и неустойчивыми. Чтобы определить их устойчивость нужно узнать какой мультипликатор у нашей системы.

2.1 Мультипликатор

Мультипликатор - это производная, вычисленная в неподвижной точке. В малой окрестности $x_{n+1}, y_{n+1}, z_{n+1}$ можно представить в виде $x_0 + \tilde{x}_{n+1}, y_0 + \tilde{y}_{n+1}, z_0 + \tilde{z}_{n+1}$, где $\tilde{x}_{n+1}, \tilde{y}_{n+1}, \tilde{z}_{n+1}$ - это малые добавления к x_0, y_0, z_0 . Тогда $x_{n+1}, y_{n+1}, z_{n+1}$ можно записать так:

$$\begin{cases} \tilde{x}_{n+1} = f'_x \cdot \tilde{x}_n + f'_y \cdot \tilde{y}_n + f'_z \cdot \tilde{z}_n \\ \tilde{y}_{n+1} = g'_x \cdot \tilde{x}_n + g'_y \cdot \tilde{y}_n + g'_z \cdot \tilde{z}_n \\ \tilde{z}_{n+1} = v'_x \cdot \tilde{x}_n + v'_y \cdot \tilde{y}_n + v'_z \cdot \tilde{z}_n \end{cases}$$

То есть мы получили Якобиан третьей степени:

$$M = \begin{pmatrix} f'_x & f'_y & f'_z \\ g'_x & g'_y & g'_z \\ v'_x & v'_y & v'_z \end{pmatrix}$$

Мультипликаторами отображения являются собственные числа матрицы M , они определяют характер устойчивости неподвижной точки и отвечают за бифуркации. Как мы видим размерность матрицы равен 3×3 , поэтому уравнение для определения собственных чисел:

$$\det(M - \lambda \cdot E) = 0, \text{ где } E - \text{единичная матрица размерности } 3 \times 3.$$

Матрица M имеет три собственных числа, и, соответственно, три мультипликатора. Поскольку уравнение для определения собственных чисел действительное, то все три мультипликатора могут быть либо действительными числами, либо один из них является действительным, а два оставшихся - комплексно-сопряженными. Таким образом, можно сформулировать критерий устойчивости: неподвижная точка будет устойчивой, если все мультипликаторы по модулю меньше единицы.

$$\text{Уравнение } \det(M - \lambda \cdot E) = 0 \text{ примет вид: } (\lambda - \lambda_1)(\lambda - \lambda_2)(\lambda - \lambda_3) = 0.$$

$$\lambda^3 - S\lambda^2 + H\lambda - J = 0$$

$$S = \lambda_1 + \lambda_2 + \lambda_3$$

$$H = \lambda_1\lambda_2 + \lambda_1\lambda_3 + \lambda_2\lambda_3.$$

$$C = \lambda_1\lambda_2\lambda_3$$

Величины S , H , J и есть три инварианта матрицы возмущений (матрицы Якоби)

2.2 Условия бифуркаций

Далее рассмотрим условия бифуркаций трехмерного отображения. Первые три типа:

А) Бифуркация $\lambda = +1$ или Касательная бифуркация. Получаем формулу:

$$H = J - 1 + S$$

Б) Бифуркация $\lambda = -1$. Получаем такую формулу:

$$H = -J - 1 - S$$

В) Бифуркация Неймарка-Сакера. Условием этой бифуркации является обращение в единицу модуля двух комплексно-сопряженных мультипликаторов, так что $\lambda_1 = e^{i\theta}$, $\lambda_2 = e^{-i\theta}$.

Подставив эти значения в соотношения, получим уравнения, содержащие только третий мультипликатор и фазу

$$\theta : S = 2\cos\theta + \lambda_3, H = 2\lambda_3\cos\theta + 1, J = \lambda_3.$$

Исключая их, получаем условие бифуркации Неймарка-Сакера:

$$H = SJ - J^2 + 1$$

Сейчас мы рассматривали бифуркацию коразмерности один. Теперь рассмотрим бифуркации коразмерности два, то есть будем рассматривать одновременно два мультипликатора.

Г) Резонанс 1:1 R1. Для этой бифуркации два мультипликаторы будут равны $\lambda_1 = +1$ и $\lambda_2 = +1$. Подставляя эти соотношения и убирая третий мультипликатор, мы получим такую формулу:

$$S = J + 2$$

$$H = 2J + 1$$

Д) Резонанс 1:2 R2. Теперь нашим условием будет $\lambda_1 = -1$ и $\lambda_2 = -1$. Аналогично подставляем и получаем:

$$S = J - 2$$

$$H = -2J + 1$$

Е) Бифуркация fold-flip ff. Для этой бифуркации $\lambda_1 = +1$, $\lambda_2 = -1$, так что следует:

$$S = -J$$

$$H = -1$$

Теперь рассмотрим случаи когда два мультипликаторы комплексные и один действительный. Бифуркация Неймарка-Сакера связана с комплексно-сопряженными мультипликаторами, лежащими на единичной окружности: $\lambda_1 = e^{i\theta}$, $\lambda_2 = e^{-i\theta}$. В трехмерной системе появляется дополнительное условие устойчивости, связанное с третьим мультипликатором: $-1 < \lambda_3 < 1$.

Таким образом, возможны новые бифуркации коразмерности два, когда одновременно выполняются условие бифуркации Неймарка-Сакера и условие обращения в $+1$ или -1 третьего мультипликатора. В соответствии с этими условиями, но-

вые бифуркации носят названия фолд-Неймарк-Сакер (fold-Neimark-Saker) и флип-Неймарк-Сакер (flip-Neimark-Saker).

Для того чтобы найти эти соотношения, приравняем $J = +1$ и $J = -1$, чтобы выполнилось условие:

Ж)fold-NS:

$$H = S$$

$$J = 1$$

З)fold-NS:

$$H = S$$

$$J = 1$$

Глава 3

Аналитическое исследование

Для нашего отображения Эно

$$\begin{cases} x_{n+1} = y_n \\ y_{n+1} = z_n \\ z_{n+1} = Bx_n + Az_n + Cy_n - y_n^2 \end{cases}$$

найдем неподвижную точку, мультипликатор все возможные бифуркации.

3.1 Неподвижная точка

Приравняем x_{n+1} и x_n к x_0 , по определению неподвижной точки. Тогда получим:

$$\begin{cases} x_0 = y_0 \\ y_0 = z_0 \\ z_0 = Bx_0 + Az_0 + Cy_0 - y_0^2 \end{cases}$$

$$x_0 = y_0 = z_0 = Bx_0 + Az_0 + Cy_0 - y_0^2$$

$$x_0 = Bx_0 + Ax_0 + Cx_0 - x_0^2$$

$$x_0 - (B + A + C - x_0) \cdot x_0 = 0$$

$$(1 - B - A - C + x_0) \cdot x_0 = 0$$

$$\begin{cases} x_0 = y_0 = z_0 \\ x_0 = 0 \\ x_0 = A + B + C - 1 \end{cases}$$

Тогда мы получаем две неподвижные точки $(0, 0, 0)$ и $(A + B + C - 1, A + B + C - 1, A + B + C - 1)$.

3.2 Мультипликатор

$$M = \begin{pmatrix} f'_x & f'_y & f'_z \\ g'_x & g'_y & g'_z \\ v'_x & v'_y & v'_z \end{pmatrix}$$

$$M = \begin{pmatrix} 0 & 1 & 0 \\ 0 & 0 & 1 \\ B & C - 2y_0 & A \end{pmatrix}$$

$$\begin{vmatrix} -\lambda & 1 & 0 \\ 0 & -\lambda & 1 \\ B & C - 2y_0 & A - \lambda \end{vmatrix} = \det(M - \lambda \cdot E) = 0$$

$$\lambda^2(A - \lambda) + (C - 2y_0)\lambda + B = 0$$

$$\lambda^3 - A\lambda^2 - (C - 2y_0)\lambda - B = 0$$

Теперь мы можем сказать чему равен S, H и J:

$$S = A$$

$$H = -C + 2y_0$$

$$J = B$$

3.3 Бифуркации

Теперь, когда мы знаем параметры S, H, J из матрицы M, мы можем найти все условия бифуркаций.

А) Бифуркация $\lambda = +1$ или Касательная бифуркация.

$$-C + 2y_0 = B - 1 + A$$

Б) Бифуркация $\lambda = -1$.

$$-C + 2y_0 = -B - 1 - A$$

В) Бифуркация Неймарка-Сакера.

$$-C + 2y_0 = AB - B^2 + 1$$

Г) Резонанс 1:1 R1.

$$A = B + 2$$

$$-C + 2y_0 = 2B + 1$$

Д) Резонанс 1:2 R2.

$$A = B - 2$$

$$-C + 2y_0 = -2B + 1$$

Е) Бифуркация fold-flip ff.

$$A = -B$$

$$-C + 2y_0 = -1$$

Ж) fold-NS:

$$-C + 2y_0 = A$$

$$B = 1$$

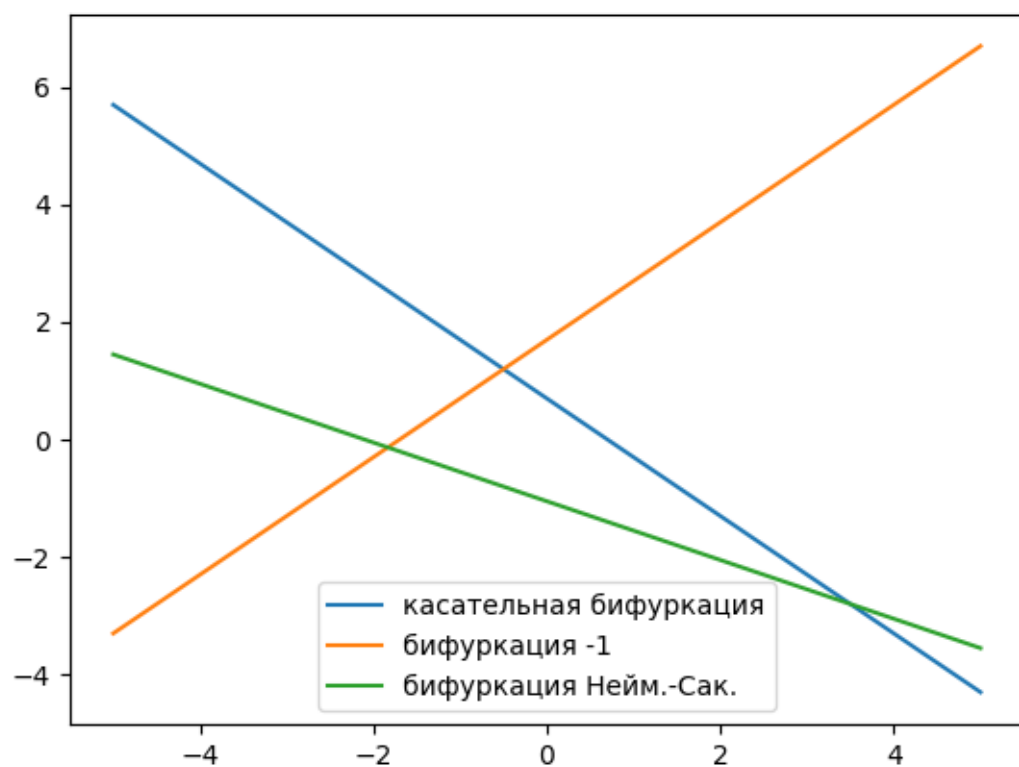
З) fold-NS:

$$-C + 2y_0 = A$$

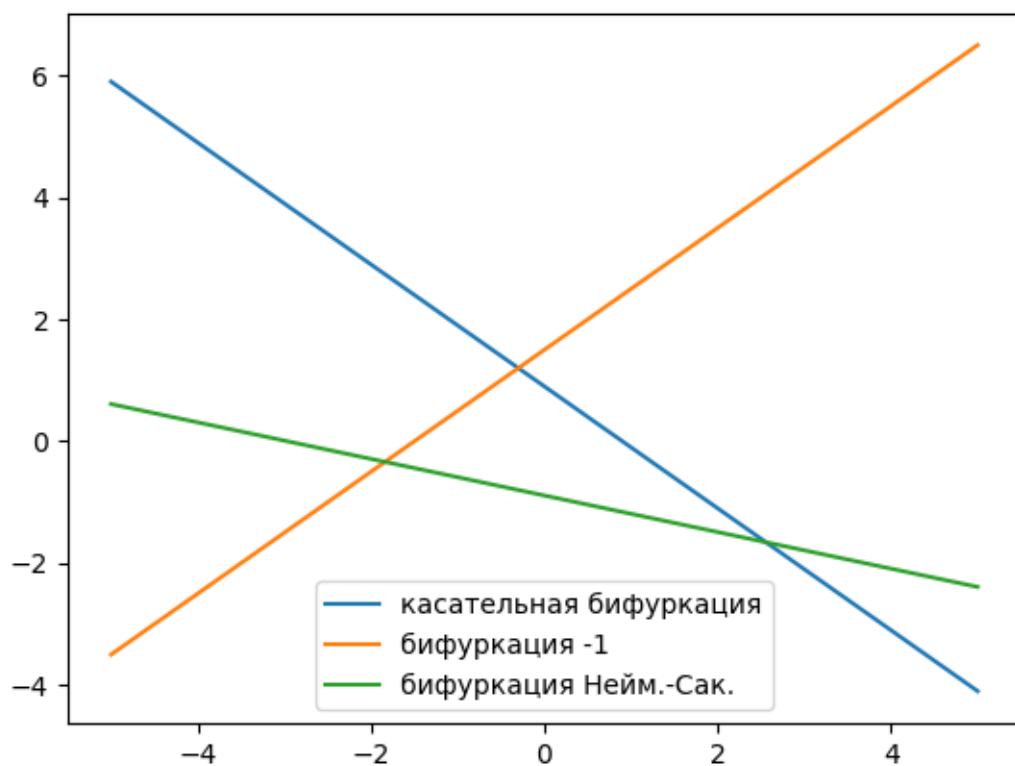
$$B = 1$$

3.3.1 Треугольник устойчивости

Узнав параметры уравнения условий бифуркаций, мы можем построить треугольник устойчивости, в котором неподвижная точка будет устойчива.



$B = 0,5$



$B = 0,3$

Глава 4

Анализ отображения

Для того чтобы найти наше отображение Эно, был использован язык программирования Python. С его помощью можно разглядеть как выглядит отображение на плоскости XOY. Данный код:

```
import matplotlib.pyplot as plt
a=1.43
b=0.5
c=-1.761
```

```
x0=0.1
y0=0.2
z0=0.3
```

```
x=0
y=0
z=0
```

```
fx=[]
fy=[]
fz=[]
```

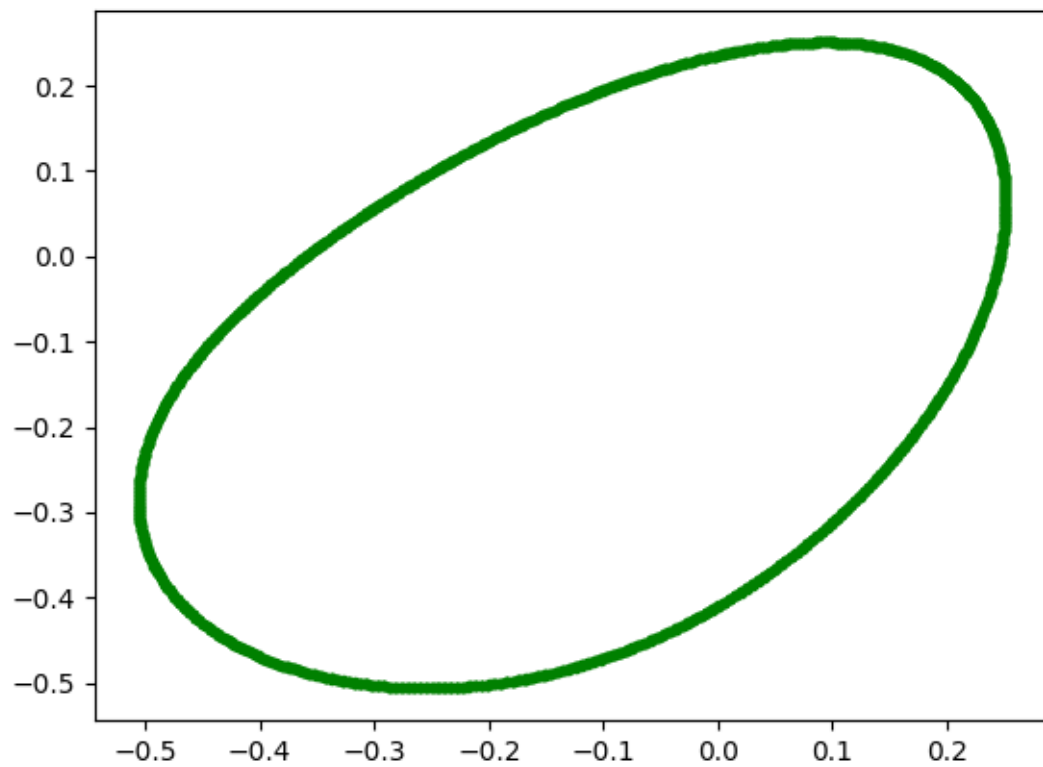
```
n=2000
```

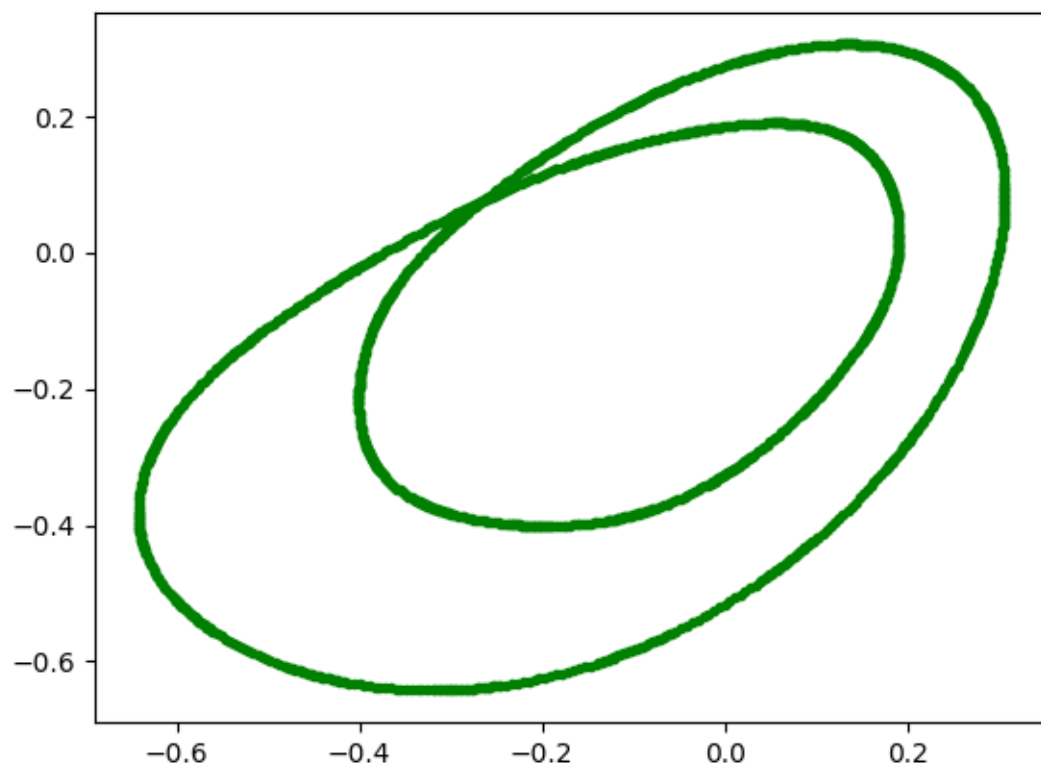
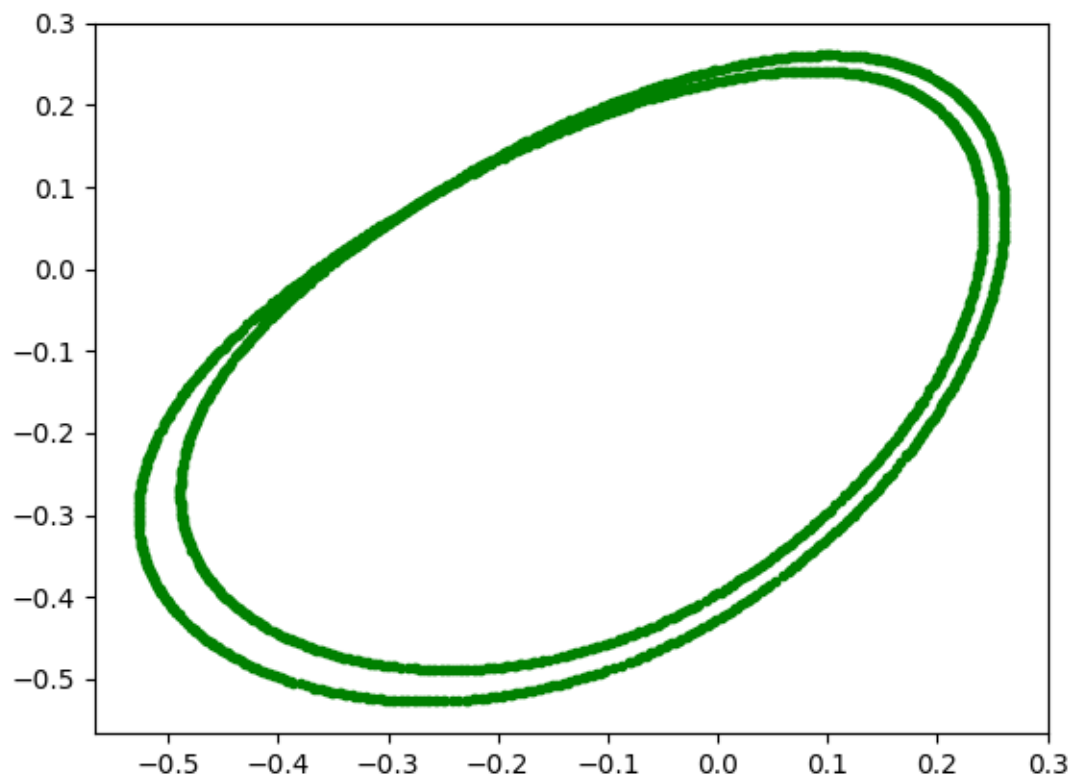
```
for i in range(n):
    z=b*x0+a*z0+c*y0-y0**2
    x=y0
    y=z0

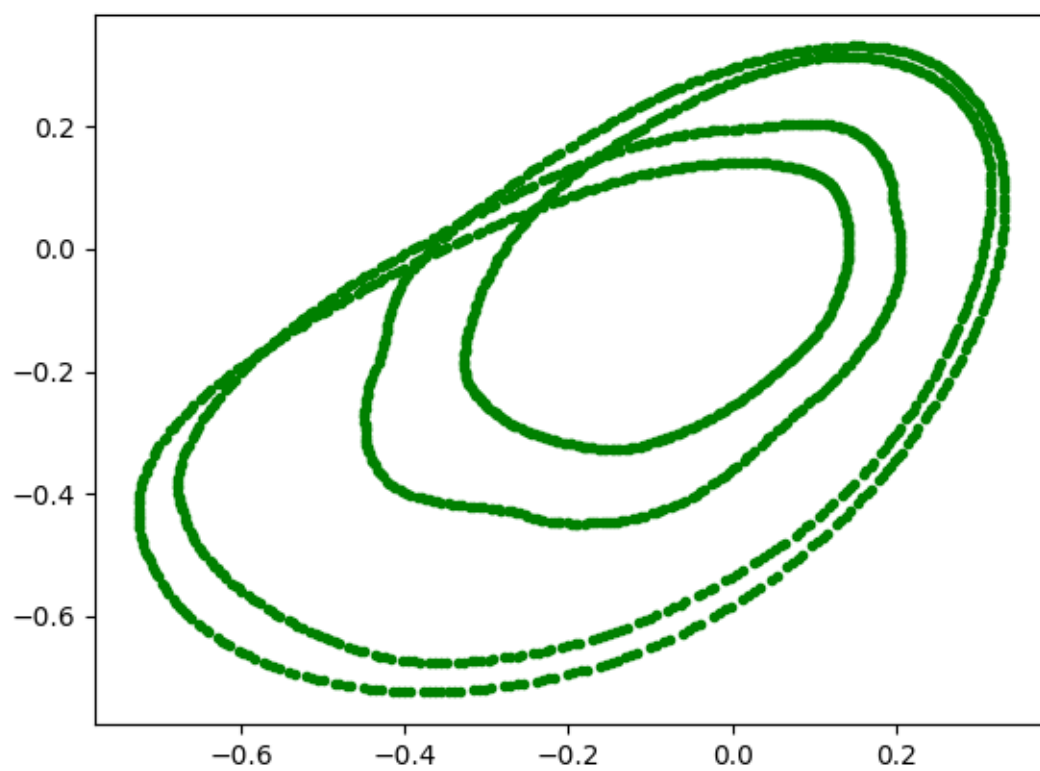
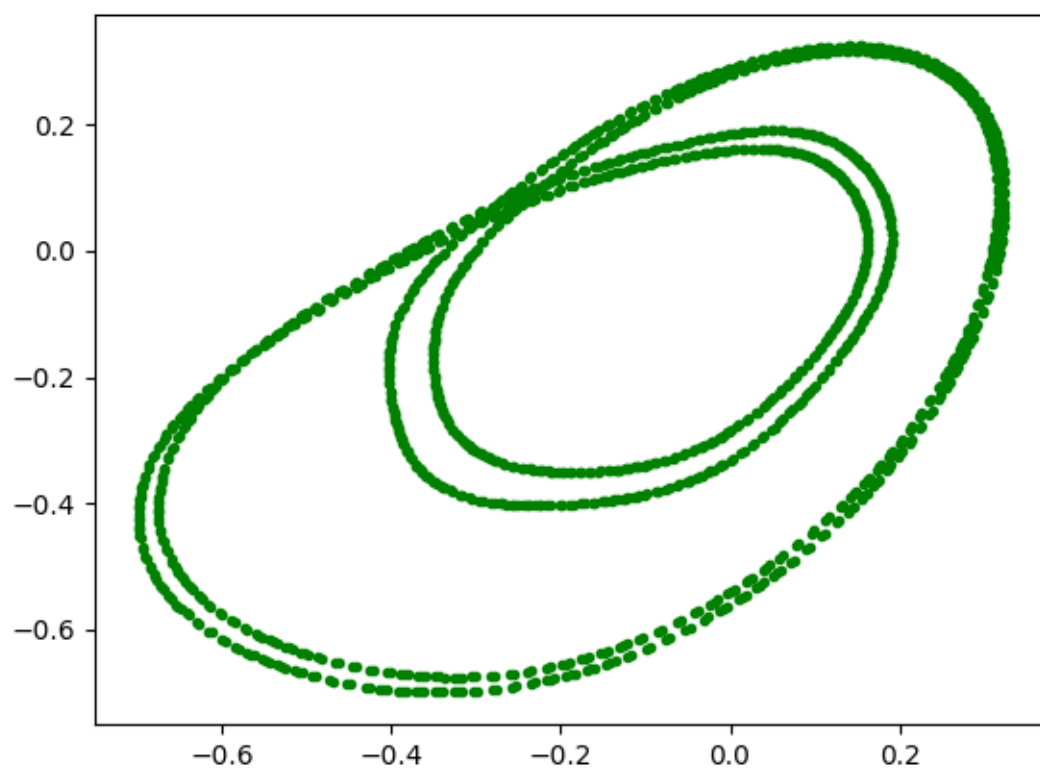
    z0=z
    x0=x
    y0=y
```

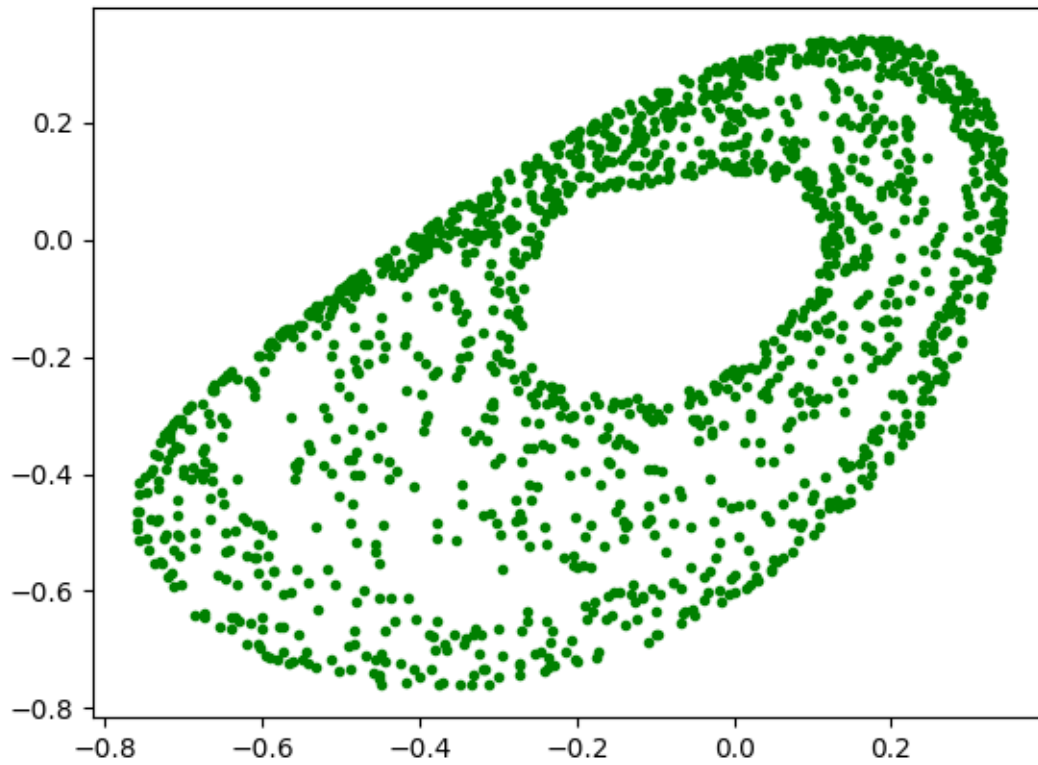
```
for i in range(n):
    z=b*x0+a*z0+c*y0-y0**2
    x=y0
```

```
y=z0  
  
z0=z  
x0=x  
y0=y  
  
fz.append(z0)  
fx.append(x0)  
fy.append(y0)  
  
fig, ax = plt.subplots()  
ax.plot(fx,fy,'g.');
```









На выше перечисленных рисунках мы можем видеть как изменяется наше отображение при изменении параметра C . На первом рисунке мы видим что появляется всего лишь окружность, но на втором при изменении всего лишь на 0.02 появилось удвоение инвариантной кривой. Далее цикл бифуркации увеличивается, а после пятой картинке можно заметить что происходит хаос.

Глава 5

Заключение

В данной работе была рассмотрена задача сложного обобщенного отображения Эно. Мы нашли неподвижные точки, мультипликаторы и все виды условий бифуркаций. Также мы нашли треугольник устойчивости на двух разных сечениях плоскости W . Внутри этого треугольника неподвижные точки являются устойчивыми.

Литература

- [1] Shykhmamedov A., Karatetskaya E., Kazakov A., Stankevich N.V. Scenarios for creation of hyperchaotic attractors in 3D maps. *Nonlinearity* 36 №7, 2023, С. 3501
- [2] Кузнецов А.П., Савин А.В., Седова Ю.В., Тюрюкина Л.В. Бифуркации отображений – Саратов: ООО Издательский центр «Наука», 2012, 196 с.
- [3] А. С. Гонченко, С. В. Гонченко, Л. П. Шильников, К вопросу о сценариях возникновения хаоса у трехмерных отображений, *Нелинейная динам.*, 2012, том 8, номер 1, 3–28